

برخی تغییرات فیزیولوژیکی و مولکولی القا شده به وسیله نانوذرات تیتانیوم دی اکسید (TiO₂) تحت تنش سرما در نخود زراعی

Some physiological and molecular changes induced by TiO₂ nanoparticles in chickpea plants during cold stress

سعید امینی^۱، رضا معالی امیری^{*۱}، فاطمه سلطانی^۱

۱- به ترتیب دانشجوی دکتری، دانشیار، دانشجوی کارشناسی ارشد، پردیس کشاورزی و منابع طبیعی دانشگاه
تهران، کرج

Amini S¹, Maali-Amiri R^{*1}, Soltani F¹

1- PhD Student, Associate Professor, MSc Student, Department of Agronomy and
Plant Breeding, University College of Agriculture and Natural Resources, University
of Tehran, Karaj

* نویسنده مسئول مکاتبات، پست الکترونیکی: rmamiri@ut.ac.ir

(تاریخ دریافت: ۹۵/۸/۱۸ - تاریخ پذیرش: ۹۵/۱۰/۲۶)

چکیده

در این آزمایش، برخی پاسخ‌های فیزیولوژیکی - مولکولی به تنش سرما ۴°C در دو ژنوتیپ متحمل (Sel96Th11439) و حساس (ILC533) نخود زراعی (*Cicer arietinum* L.) تحت تیمار پنج میلی‌گرم بر لیتر نانوذره تیتانیوم دی‌اکسید (TiO₂) بررسی شد. نتایج نشان داد تحت تنش سرما محتوای پراکسید هیدروژن (H₂O₂) در گیاهان حساس در مقایسه با گیاهان متحمل به‌طور معنی‌داری افزایش یافت. نانوذرات TiO₂ باعث کاهش معنی‌داری در محتوای H₂O₂ شده به طوری که ژنوتیپ‌های متحمل محتوای H₂O₂ پایین‌تری در مقایسه با ژنوتیپ‌های حساس نشان دادند. این کاهش اغلب با افزایش آنزیم آسکوربات پراکسیداز به‌منظور محافظت از تنش سرما در ژنوتیپ متحمل در مقایسه با ژنوتیپ حساس و همچنین در گیاهان تیمار شده با نانوذرات TiO₂ در مقایسه با گیاهان شاهد همراه بود که بیانگر افزایش درجه تحمل به سرما در اثر حفاظت از سلول در برابر گونه‌های اکسیژن فعال بود. در گیاهان تیمار شده با نانوذرات TiO₂ میزان بیان نسیه ژن‌های آسکوربات پراکسیداز، زنجیره ATPase کمپلکس بازآرایی کروماتین و چارونین-۶۰ نیز در مقایسه با گیاهان شاهد افزایش نشان داد و این افزایش در ژنوتیپ متحمل در مقایسه با ژنوتیپ حساس محسوس‌تر بود. بنابراین پاسخ تحمل نخود به تنش سرما پس از استفاده از نانوذرات TiO₂، با افزایش بیان ژن‌های تنظیم‌کننده سطح رونویسی و حفاظتی و ژن‌های فعال در حذف گونه‌های اکسیژن فعال همراه بوده و به توانایی گیاه نخود برای بقا و یا بهبود خسارت سلولی آن طی تنش سرما کمک می‌کند و احتمالاً منجر به پایداری عملکرد تحت شرایط مزرعه خواهد شد.

واژه‌های کلیدی

آسکوربات پراکسیداز
بیان نسبی ژن
پاسخ‌های خسارت
تنش سرما
نانوذرات

مقدمه

رشد، نمو و بهره‌وری گیاهان، از جمله گیاه نخود (*Cicer arietinum* L.) در کشت پاییزه یا زمستانه تحت تاثیر تنش سرما محدود می‌شود. بنابراین اصلاح برای تحمل به تنش سرما یکی از گزینه‌های مهم در سازگاری، بهبود تولید و عملکرد گیاه نخود است (Heidarvand et al. 2011). تنش سرما مانند دیگر تنش‌های زنده و غیر زنده با تولید بیش از حد گونه‌های اکسیژن فعال¹ (ROS) باعث آسیب‌های شدید از جمله تخریب پروتئین‌ها، دناتوره شدن آنزیم‌ها و شکستن مولکول‌های اسید نوکلئیک (DNA و RNA) در سلول‌های گیاهی می‌شود. یکی از رویکردهای مهم در اصلاح برای تحمل به سرما بهبود پاسخ‌های فیزیولوژیکی و بیوشیمیایی گیاه به تنش سرما، بدون ایجاد تغییرات ژنتیکی است. با توجه به خواص منحصر به فرد نانوذرات تیتانیوم دی‌اکسید (TiO₂)، این نانوذره دارای بیشترین کاربرد در محصولات مختلف از جمله کرم‌های ضد آفتاب، محصولات غذایی، دارویی و در بخش‌های معینی از کشاورزی می‌باشند (Castiglione et al. 2014). پژوهش‌های پیشین نشان داده که استفاده از نانوذرات TiO₂ در غلظت‌های پایین در گیاه نخود طی تنش سرما، احتمالاً تحریک‌کننده مسیرهای پیام‌رسانی خاصی بوده که تا حدودی به تنظیم تغییرات متابولیک در برابر تنش اکسیداتیو ناشی از سرما منجر شده است (Hasanpour et al. 2015). هم‌چنین تحقیقات گذشته نشان داده که نانوذرات TiO₂ سبب تغییر در وزن خشک، سنتز کلروفیل و برخی از ویژگی‌های متابولسمی در موجودات فتوسنتز کننده شده است. این تغییرات غالباً با القای سامانه‌های دفاعی و کاهش قابل توجه در شاخص‌های خسارت همراه بوده است (Feizi et al. 2012; Singh et al. 2012). بر اساس این یافته‌ها پتانسیل بالایی برای توسعه دامنه استفاده از نانوذرات TiO₂ در بهبود ویژگی‌های فیزیولوژیکی و بیوشیمیایی محصولات وجود دارد. با این وجود استفاده از نانوذرات (NPs) در گیاهان نیازمند راهنمایی‌های تئوریک و تکنولوژیک مربوط به خواص نانوذرات و پاسخ‌های فیزیولوژیکی و مولکولی مربوط به اعمال آن‌ها در هر گیاه است. زیرا نانوذرات می‌توانند اثرات منفی متنوعی نیز بر فرایندهای متابولیک داشته باشند

¹ Reactive oxygen species

(Khodakovskaya et al. 2012). از یک سو کاربرد نانوذرات TiO₂ فعالیت مکانیسم‌های دفاعی را در بعضی از موجودات بهبود می‌بخشد و از سوی دیگر اثراتی منفی مانند تجمع ROSها را ایجاد می‌کند (Hu et al. 2005; Li et al. 2012). بنابراین این اثرات ممکن است باعث محدودیت کاربرد گسترده نانوذرات TiO₂ در بخش کشاورزی شود. تحت تنش سرما میزان خسارت‌های سلولی (در اثر افزایش ROSها) افزایش می‌یابد. بنابراین، برای پشتیبانی از کاربرد نانوذرات TiO₂، باید نقش آن‌ها در طی تنش سرما بیشتر مورد مطالعه قرار بگیرد. در مطالعات قبلی برای اولین بار اثر نانوذرات TiO₂ بر محتوای شاخص آسیب دیدگی² (MDA) و شاخص هدایت الکترولیت³ (ELI) در طی تنش سرما در ژنوتیپ‌های نخود ارزیابی شد (Mohammadi et al. 2013). نتایج نشان داد که غلظت پایین پنج میلی‌گرم بر لیتر نانوذرات TiO₂ در طی تنش سرما در ژنوتیپ‌های نخود اثرات مضر و نامناسبی نداشته و حتی باعث کاهش محتوای MDA و ELI می‌شود. تصور می‌شد حضور نانوذرات TiO₂ در سلول‌ها در طی تنش سرما احتمالاً باعث القای مسیرهای انتقال سیگنالی شود که تا حدودی در تنظیم تغییرات متابولیک در برابر تنش اکسیداتیو ناشی از تنش سرما نقش دارند. با این حال، در ژنوتیپ‌های مطالعه شده در مورد چنین پاسخ‌هایی که در رشد و دفاع از گیاه موثرند اطلاعاتی در دسترس نیست.

گیاهان برای دستیابی به پاسخ مناسب به تغییرات محیطی بیان بسیاری از ژن‌ها را تغییر می‌دهند، فرایندی که توسط زنجیره ATPase کمپلکس بازآرایی کروماتین⁴ میانجی‌گری می‌شود (Arnholdt-Schmitt. 2004). تصور می‌شود این آنزیم‌ها تنظیم‌کننده پیکربندی کروماتین به حالت باز (حالت فعال رونویسی) و یا بسته (ممانعت‌کننده از رونویسی) بوده (Harikrishnan et al. 2005) و با استفاده از تجزیه ATP باعث تغییر توپولوژی DNA در موقعیتی خاص می‌شوند (Tsukiyama. 2002). بنابراین این ژن‌ها نقش مهمی در تنظیم بیان ژن‌های

² Malondialdehyde (MDA)³ Electrolyte leakage index⁴ Chromatin remodeling complex ATPase chain

تحقیقات کشاورزی دیم ایران (مراغه، آذربایجان شرقی) تهیه شده بودند، استفاده شد. بذور با هیپوکلریت سدیم ده درصد به مدت ده دقیقه ضدعفونی شده و پس از شستشو با آب مقطر بر روی کاغذ صافی در پتری دیش با رطوبت لازم که با ۱۰ میلی لیتر محلول نانوذرات TiO_2 با غلظت پنج میلی گرم بر لیتر تیمار شده بودند، قرار گرفت. پتری دیشها در شرایط بدون نور و دمای $23^{\circ}C$ به مدت ۷۲ ساعت قرار گرفتند و پس از جوانه زنی، گیاهچه‌ها به گلدان‌ها انتقال یافت. انتقال غیرمستقیم گیاهان به خاک به دلیل اهمیت سبز شدن یکنواخت آن‌ها و اجرای دقیق تیمارهای آزمایش در نمونه‌ها بود. گلدان‌ها در اتاقک رشد آزمایشگاه گروه زراعت و اصلاح نباتات دانشگاه تهران با نور ۲۰۰ میکرومول بر مترمربع بر ثانیه و شرایط نوری ۱۶ ساعت روز و ۸ ساعت شب و دمای $23^{\circ}C$ و رطوبت نسبی ۷۵ درصد قرار داده شد. محلول پاشی نانو-ذره به گیاهچه‌ها به صورت اسپری در دوازدهمین و شانزدهمین روز (گیاهچه دارای پنج شاخه) در شرایط اتاقک رشد انجام شد. همچنین گیاهان شاهد هر تیمار با آب مقطر محلول پاشی شدند. پودر نانوذره TiO_2 از شرکت پاک فن گستر تهران (تهیه شده از گروه Nanoyo سنگاپور) تهیه شد. بررسی‌ها با استفاده از میکروسکوپ SEM (Scanning electron microscope) نشان داد که اندازه نانوذره ۴۰-۷ نانومتر بود. همچنین بررسی خصوصیات کریستالی نانوذره TiO_2 با استفاده از XRD (X-ray diffraction) نشان داد که تنها فرم آناتاز (Anatase) در آن‌ها وجود داشت (Mohammadi et al. 2013). خلوص این پودر بیش از ۹۹ درصد بود. سوسپانسیون پنج میلی گرم بر لیتر نانوذره TiO_2 در آب دوبار تقطیر شده از طریق ۳۰-۲۰ دقیقه اولتراسونیکیشن (۳۸ kHz، W، ۱۲۰) تهیه شد. جهت بررسی پاسخ‌های گیاهی به تنش سرما، در روز بیست و یکم گیاهچه‌های محلول پاشی شده و شاهد که دارای ۲۰ سانتی متر طول و حداقل پنج شاخه با طول ۵-۸ سانتی متر بودند، به اتاقک رشد با دمای $4^{\circ}C$ (آروین تجهیز، اصفهان، ایران) منتقل شدند و نمونه‌گیری در روز اول (۲۴ ساعت) پس از شروع تنش سرما (جهت بررسی پاسخ‌های زود هنگام گیاه) و روز ششم پس از شروع تنش (جهت بررسی پاسخ‌های دیر هنگام گیاه) از هر دو گروه گیاه انجام شد. نمونه‌گیری از گیاهچه‌ها در اتاقک رشد با دمای $23^{\circ}C$ نیز انجام

یوکاریوتی خصوصاً تحت تنش‌های محیطی ایفا می‌کنند (Vignali et al. 2000).

در گیاهان، چاپرونین‌ها با حفاظت از ساختار پروتئین‌ها نقش تعیین‌کننده‌ای در حفظ سلامت سلول تحت تنش‌های محیطی دارند (Alves et al. 2011). کلروپلاست اندامکی است که بیشترین میزان تولید ROS و در نتیجه بیشترین آسیب پروتئینی در طی تنش سرما در آن مشاهده شده است (Hunner et al. 1993). بنابراین بیان ژن چاپرونین ۶۰^۱ تحت تنش سرما جهت کارایی مناسب آنزیم رویسکو که نقش مهمی در انجام فتوسنتز و تولید انرژی برای سنتز متابولیت‌های اولیه و ثانویه در پاسخ به تنش‌های محیطی دارد ضروری می‌باشد.

تحت تنش‌های محیطی تولید فراوان گونه‌های اکسیژن فعال (ROS) یکی از عوامل مهم موثر در خسارت گیاهان بوده (Gill and Tuteja 2010) که سلول با تغییر وضعیت ترکیبات غشایی، پروتئین‌ها، آنتی‌اکسیدان‌ها و بسیاری از متابولیت‌های دیگر به آن پاسخ می‌دهد (Cao et al. 2010; Heidarvand and Maali-). آسکوربات پراکسیداز (APX)^۲ آنزیمی مهم در مقابله با H_2O_2 به عنوان یکی از ROSهای مخرب سلولی است (Kazemi-Shahandashti et al. 2013; Kang and Saltveit. 2002). تغییر در فعالیت و بیان نسبی این ژن تحت تنش سرما می‌تواند اطلاعات مفیدی در زمینه القا سامانه‌های دفاعی گیاه در سطح رونویسی و ترجمه ارائه کند.

هدف از این پژوهش، مطالعه شاخص‌های خسارت سلولی مانند پراکسید هیدروژن (H_2O_2)، فعالیت و بیان نسبی ژن APX و بیان نسبی ژن‌های *Chromatin Remodeling Complex-ATPase* و *Chaperonin-60* تحت تنش سرما در دو ژنوتیپ نخود (ژنوتیپ متحمل Sel94Th11439 و ژنوتیپ حساس ILC533) تیمار شده با نانوذرات TiO_2 است.

مواد و روش‌ها

در این پژوهش، از دو ژنوتیپ نخود کابلی Sel96Th11439 (متحمل به سرما) و ILC533 (حساس به سرما) که از موسسه

¹ *Chaperonin-60*

² Ascorbate peroxidase

گرفت. بنابراین در این پژوهش اثر نانوذره TiO_2 در سه نوع تیمار دمایی (شامل گیاهان کنترل، روز اول تنش سرما 4°C و روز ششم تنش سرما 4°C) و در دو ژنوتیپ متحمل (Sel96Th11439) و حساس (ILC533) (در نمونه‌های اسپری شده و کنترل) نخود کابلی و در مجموع ۱۲ نمونه در سه تکرار به صورت آزمایش فاکتوریل در قالب طرح پایه کاملاً تصادفی مورد بررسی قرار گرفت.

استخراج آنزیم محلول هر نمونه با استفاده از Tris-Hcl (pH 7/8) حاوی ۱۰ درصد گلیسرول (بافر استخراج) از ۰/۵ گرم از نمونه‌های برگ گیاهچه‌های تحت شرایط آزمایش انجام شد. سنجش میزان پروتئین محلول استخراج شده با کمک منحنی استاندارد و تعیین غلظت‌های معین و سپس دریافت روابط رگرسیونی و انطباق با میزان جذب با روش بردفورد^۱ انجام شد (Bradford.1976). میزان فعالیت آنزیم آسکوربات پراکسیداز با روش (Ranieri et al. 2003) در دمای 25°C سنجش شد. محیط واکنش حاوی ۱۰۰ میکرولیتر عصاره آنزیمی، ۵۰۰ میکرولیتر EDTA ۰/۱ مولار، ۱۵۰۰ میکرولیتر بافر فسفات پتاسیم ۰/۵ میلی‌مولار (pH 7/۰) و ۴۰۰ میکرولیتر پراکسید هیدروژن ۳۰ درصد بود. میزان فعالیت آنزیمی بر اساس میکرومول آسکوربات اکسایش یافته در دقیقه در میلی‌گرم پروتئین با استفاده از دستگاه اسپکتروفوتومتر در طول موج ۲۹۰ nm اندازه‌گیری شد.

به منظور استخراج و سنجش فعالیت پراکسید هیدروژن (H_2O_2) گرم نمونه تازه گیاهی با نیتروژن مایع در هاون چینی به پودر تبدیل شد. پودر تهیه شده به فالكون ۱۵ میلی‌لیتری انتقال یافت و سپس ۵ میلی‌لیتر محلول تری‌کلرواستیک اسید یک درصد (محلول در حمام یخ) به تیوب اضافه شد و تیوب‌ها تا یکنواخت شدن نمونه‌ها در حمام یخ قرار داده شد. تیوب حاوی نمونه یکنواخت شده به مدت ۱۵ دقیقه و در دمای 4°C با سرعت $12000 \times g$ سانتریفوژ شد. سپس ۰/۵ میلی‌لیتر از مایع رویی به یک تیوب جدید حاوی یک میلی‌لیتر محلول یک مولار یدید پتاسیم و ۰/۵ میلی‌لیتر بافر فسفات ۱۰ میلی‌مولار افزوده شد و پس از چندبار وارونه کردن تیوب در محیط تاریک برای یکنواخت نمودن محتوای آن، مقدار جذب هر نمونه در طول

موج ۳۹۰ nm اندازه‌گیری شد (Loreto and Velikova 2001). استخراج RNA کل سلولی توسط روش با یازول^۲ (فرژن پویش، تهران، ایران) از ۸۰ میلی‌گرم نمونه‌های بافت برگ خرد شده به کمک ازلت مایع در هاون چینی استریل انجام گرفت. کیفیت RNA استخراج شده توسط الکتروفورز روی ژل آگارز یک درصد تعیین شد. تشکیل دو باند RNA ریوزومی 18S و 28S بر روی ژل، کیفیت بالای RNA تخلیص شده را تایید کرد. برای بررسی کمی میزان غلظت RNA از دستگاه نانودراپ در طول موج ۲۶۰ nm استفاده شد. در مرحله بعد RNA استخراج شده با آنزیم DNaseI بر اساس روش پیشنهادی شرکت فرمتاز تیمار شد. دو میکروگرم RNA، یک میکرولیتر بافر، یک واحد (u) آنزیم DNaseI و ۱۰ واحد (u) آنزیم RNase inhibitor، مخلوط و با افزودن آب DEPC حجم محلول به ۱۰ میکرولیتر رسانده شد و به مدت ۳۰ دقیقه در دمای 37°C قرار گرفتند. سپس یک میکرولیتر EDTA به تیوب‌ها اضافه شد و به مدت ۱۰ دقیقه در دمای 65°C قرار داده شدند. تیوب‌ها در دمای -80°C نگهداری شدند. پنج میکرولیتر RNA تیمار شده با DNase با کمک آغازگر الیگو دی‌تی^۳ (۱ پیکومول) (۲۰-۱۸ نوکلئوتید) مخلوط شد و حجم محلول با استفاده از آب DEPC به ۱۱ میکرولیتر رسانده شد. این مخلوط به مدت ۵ دقیقه در دمای 70°C قرار گرفت و پس از آن روی یخ سرد شد. سپس ۴ میکرولیتر بافر واکنش و ۲ میکرولیتر دی‌اکسی نوکلئوتری فسفات^۴ با غلظت ۱۰ میکرومول و ۲۰ واحد آنزیم RNase inhibitor به هر تیوب اضافه و حجم محلول با آب DEPC به ۱۹ میکرولیتر رسانده شد و به مدت ۵ دقیقه در دمای 37°C قرار داده شد. بعد از آن، ۲۰۰ واحد (u) آنزیم RevertAid M-Mulv به این محلول افزوده شده و پس از مخلوط کردن به مدت یک ساعت در دمای 42°C قرار داده شد. سپس برای غیرفعال کردن واکنش، تیوب‌ها به مدت ۱۰ دقیقه در دمای 70°C قرار گرفتند. به منظور تایید سنتز cDNA از روش تکثیر ژن خانه‌دار (*Actin1*) بر روی cDNA ساخته شده (پس از رقیق‌سازی و رساندن غلظت cDNA سنتز شده به ۲۰۰ نانوگرم بر میکرولیتر) توسط PCR و الکتروفورز آن بر روی ژل یک

² Biozol

³ Oligo dt

⁴ Deoxynucleothriphosphate

¹ Bradford

دمای 95°C ، ۱۰ ثانیه در دمای 60°C (دمای اتصال آغازگر) و ۱۰ ثانیه در دمای 72°C انجام شد. بیان نسبی ژن‌ها با روش $2^{-\Delta\Delta\text{CT}}$ محاسبه شد. کلیه تیمارها با گیاهان کنترل زمان خودش مقایسه شد. جهت تجزیه داده‌ها از نرم‌افزار REST^1 استفاده شد (Pfaffl et al. 2002).

نتایج و بحث

نتایج حاصل از تجزیه واریانس نشان داد که تفاوت‌های معنی‌داری بین تیمارهای آزمایشی تحت اثر نانوذرات TiO_2 از نظر صفات مورد بررسی وجود داشت که دلالت بر وجود تنوع ژنتیکی در بین ژنوتیپ‌ها و نیز واکنش متفاوت ژنوتیپ‌ها تحت تیمارهای دمایی داشت. سازوکار تحمل گیاهان تحت تیمار با نانوذرات TiO_2 تاکنون ناشناخته مانده با این وجود امروزه تنظیم میزان ROS (در این مطالعه محتوای H_2O_2) احتمالاً می‌تواند برخی از مکانیسم‌های تحمل به تنش سرما را در گیاه نخود مشخص کند.

¹ Relative expression software tool

درصد آغازز استفاده شد که اندازه باند مشاهده شده با اندازه ژن خانه‌دار مطابقت داشت. غلظت cDNA سنتز شده ۱۲۴۵ نانوگرم بر میکرولیتر بود. طراحی آغازگر برای ژن‌های آسکوربات پراکسیداز (*APX*)، کمپلکس بازآرایی کروماتین (*Crc*) و چاپرونین-۶۰ (*Cpn-60*) که EST آن‌ها در گیاه نخود تحت تیمار نانوذره TiO_2 و تنش سرما در آزمایشگاه ژنومیکس گروه زراعت و اصلاح نباتات دانشگاه تهران به روش cDNA-AFLP جداسازی شده (Amini et al. 2017) و همچنین ژن خانه‌دار *Actin-1* با استفاده از نرم‌افزار Primer3 انجام گرفت. در جدول ۱ توالی آغازگرهای ژن‌های اختصاصی و ژن خانه‌دار ارایه شده است. مخلوط واکنش شامل ۱۰ میکرولیتر کیت حاوی رنگ فلورسنت Evagreen، ۳ میکرولیتر آب مقطر استریل، یک میکرولیتر از هر یک از آغازگرهای اختصاصی پیشرو و پسرو با غلظت ۱۰ میکرومول و ۵ میکرولیتر نمونه cDNA ساخته شده بود. برای هر واکنش دو تکرار بیولوژیک و سه تکرار تکنیکی استفاده شد. پس از آماده کردن مخلوط واکنش، پلیت موردنظر به دستگاه iQ5 منتقل شد و واکنش زنجیره‌ای پلیمرز به صورت دو دقیقه در دمای 94°C و ۳۵ تکرار با چرخه‌های ۱۰ ثانیه در

جدول ۱- توالی‌های آغازگر استفاده شده در واکنش زنجیره‌ای پلیمرز در زمان واقعی (qPCR)

Accession number	Gene	Protein	Sequence (5'→3')	T _m (°C)	Amplicon length (bp)
XM_004502430	<i>Ca.APX</i>	Ascorbate peroxidase	F: ATGGCATGATGCTGGTACTTA R: GTCTTTGATTGGCTGGAGAAGT	60	156
XM_004505990	<i>Ca.cpn-60</i>	Chaperonin-60	F: GAATGGTGAATGGGAGGTTG R: TCAACCACAATGGCCTGTGTGG	61	159
XM_004508250	<i>Ca.CrcATPase</i>	Chromatin remodeling complex ATPase	F: CCCTCATTCGGCTTGTAGAG R: AACTGCTCCGCTTCTTCAG	62	157
EU529707.1	<i>CaActin 1</i>	Actin 1	F: CTACGAATTGCCTGATGGAC R: CCTCCTGAAAGGACGATGTT	62	189

جدول ۲- نتایج آزمون چند دامنه‌ای دانکن برای مقایسه شاخص‌های آسیب: میزان فعالیت APX (میکرومول آسکوربات اکسیدشده بر میلی‌گرم در دقیقه پروتئین) و محتوای هیدروژن پراکساید (H_2O_2) (میکرومول بر گرم وزن تر)

پارامتر	23°C		۱ روز پس از تنش سرما		۶ روز پس از تنش سرما	
	شاهد	تیمار با TiO_2	شاهد	تیمار با TiO_2	شاهد	تیمار با TiO_2
Selli1439						
APX	$30/61 \pm 1/20^{bcd}$	$33/67 \pm 1/07^{bc}$	$23/49 \pm 0/40^e$	$25/11 \pm 1/2^{de}$	$29/66 \pm 1/03^{cde}$	$42/69 \pm 6/20^a$
H_2O_2	$74/34 \pm 5/79^b$	$61/35 \pm 4/24^c$	$85/28 \pm 2/10^b$	$67/84 \pm 1/75^{bc}$	$70/96 \pm 1/47^{bc}$	$42/91 \pm 6/94^d$
ILC533						
APX	$36/56 \pm 2/38^b$	$25/33 \pm 1/08^{de}$	$27/65 \pm 2/87^{cde}$	$27/97 \pm 2/52^{cde}$	$29/76 \pm 0/70^{cde}$	$32/66 \pm 0/29^{bc}$
H_2O_2	$81/01 \pm 6/75^{bc}$	$82/79 \pm 3/97^{bc}$	$111/45 \pm 10/04^a$	$85/01 \pm 8/50^b$	$119/70 \pm 13/84^a$	$99/80 \pm 7/25^b$

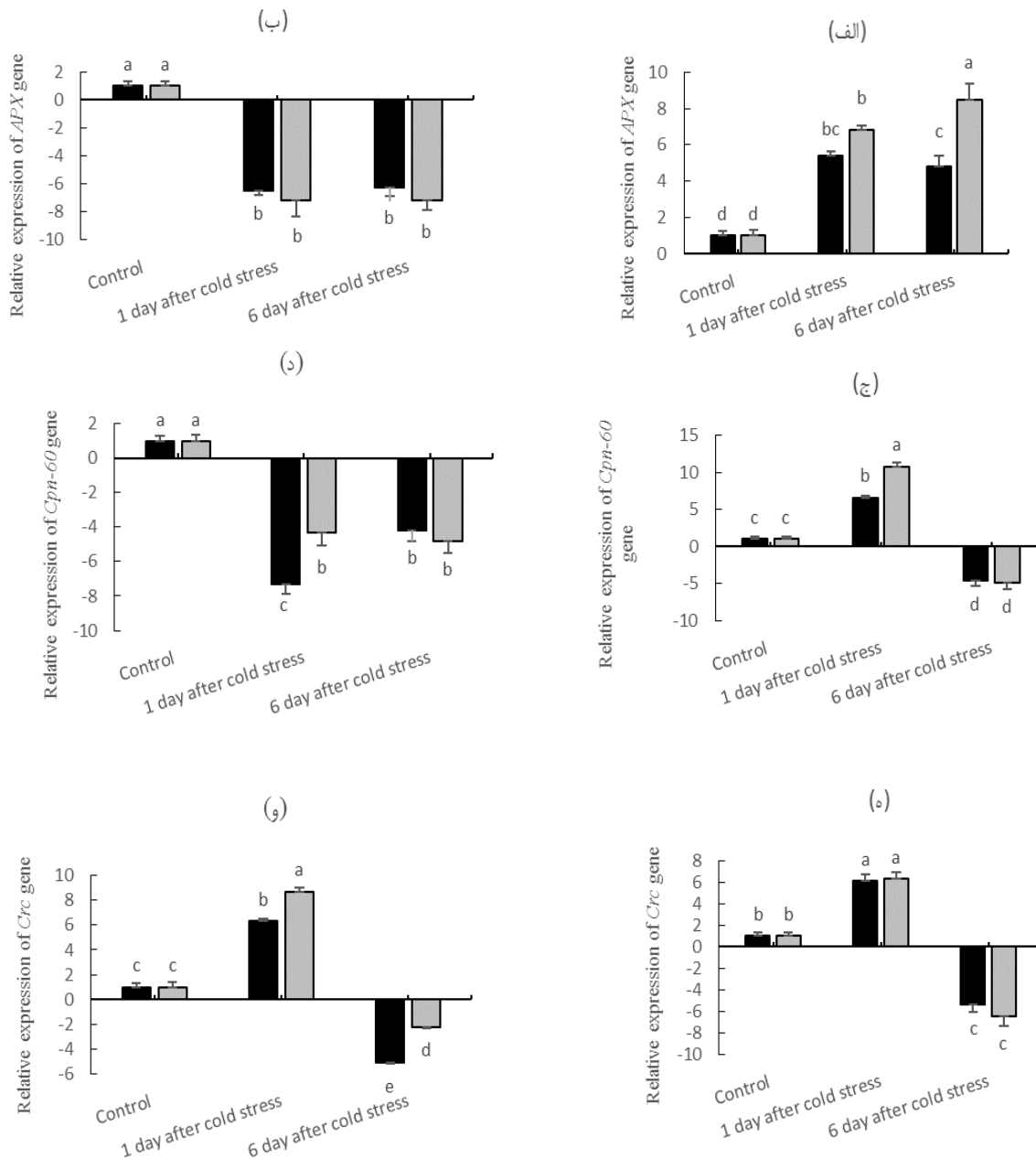
حروف مختلف نشان‌دهنده تفاوت معنی‌دار بر اساس آزمون چند دامنه‌ای دانکن است.

بررسی بیان نسبی ژن *APX* نشان داد که تحت تنش سرما بیان این ژن در ژنوتیپ حساس، کاهش و در ژنوتیپ متحمل افزایش یافت، طوری که این افزایش در گیاهان تیمار شده با نانوذرات TiO_2 چشمگیر بود (شکل ۱). در پاسخ به تنش اکسیداتیو القا شده توسط سرما، ژنهای رمزکننده آنزیمهای آنتی اکسیدان شامل *APX*، *SOD*، *CAT*، *GPX* و *PPO* با حذف ROSها در هموستازی سلول ایفای نقش می کنند (Kazemi-Shahandashti et al. 2013). افزایش میزان رونوشت ژن *APX* نشان دهنده این است که گیاهان از آسیبهای سلولی (نتایج H_2O_2) تنش سرما جلوگیری کرده و تحت این شرایط گیاهان تیمار شده با نانوذرات TiO_2 ، به طور مؤثرتری چنین فعالیتی را انجام می دهند. نکته جالب آن است که در ژنوتیپ متحمل تحت تنش و تیمار نانوذره بیان ژن *APX* هم در پاسخ زود هنگام (تا ۶/۸ برابر) و هم در پاسخ دیر هنگام (تا ۸/۵ برابر) افزایش معنی داری در مقایسه با دمای 23°C نشان داد که بیانگر نقش القایی نانوذره TiO_2 در فعالیت سیستم آنتی اکسیدانی گیاه می باشد (شکل ۱). جهت تایید نتایج رونوشت ژن *APX*، فعالیت آنزیم *APX* نیز تحت تیمارهای آزمایشی بررسی شد. تحت تنش سرما فعالیت آنزیم *APX* در ژنوتیپ متحمل هم در مقایسه با شرایط دمای 23°C (به تقریب ۲۷ درصد) و هم در مقایسه با ژنوتیپ حساس (به تقریب ۳۱ درصد) افزایش معنی داری داشت و این افزایش در گیاهان تیمار شده با نانوذره در مقایسه با گیاهان شاهد چشمگیر بود (شکل ۱).

بالاترین میزان فعالیت آنزیم *APX* در ژنوتیپ متحمل تیمار شده با نانوذره شش روز پس از تنش سرما مشاهده شد، همان شرایطی که میزان خسارت سلولی به کمترین میزان خود رسید (جدول ۲). چنین نتایجی حتی با مشاهده میزان فعالیت این آنزیم در گیاهان متحمل تیمار شده با نانوذره در مقایسه با گیاهان شاهد قابل انتظار بود. بنابراین افزایش فعالیت و رونوشت ژن *APX* در ژنوتیپ متحمل که تحمل بیشتری به سرما نشان داد، بیانگر تحریک فعالیت ژنوم در سطح رونویسی و پس از رونویسی در راستای آماده سازی گیاه برای رویارویی با دماهای پایین تر به موازات بروز کمترین خسارت می باشد.

همچنین میزان H_2O_2 می تواند نشان دهنده درجه آسیب ایجاد شده توسط تنش سرما نیز باشد (Prasad et al. 1994; Heidarvand and Maali-Amiri. 2011). در دمای 23°C ، تجمع H_2O_2 به طور معنی داری تنها در گیاهان متحمل تیمار شده با نانوذرات TiO_2 در مقایسه با گیاهان شاهد کاهش یافت (۱۷/۵ درصد). در روز ششم تنش سرما گیاهان متحمل تیمار شده با نانوذرات TiO_2 کاهش معنی داری در محتوای H_2O_2 در مقایسه با دمای 23°C نشان دادند (به تقریب ۲۳ درصد) در حالی که در گیاهان شاهد محتوای H_2O_2 تغییر معنی داری نداشت (جدول ۲). در همین شرایط محتوای H_2O_2 در گیاهان حساس تیمار شده با نانوذرات TiO_2 ، در مقایسه با دمای 23°C تغییری نکرده در حالی که در گیاهان شاهد افزایش (به تقریب ۳۸ درصد) یافت (جدول ۲). بیشترین اثر نانوذرات TiO_2 بر محتوای H_2O_2 در ژنوتیپ متحمل مشاهده شد به طوری که محتوای H_2O_2 به میزان کمتری نسبت به گیاهان شاهد در دمای 23°C رسید (جدول ۲). بنابراین تحت تنش سرما، نانوذرات TiO_2 تنها مانع از افزایش محتوای H_2O_2 در ژنوتیپ حساس شد. این نتایج با نتایج مطالعه انجام شده بر روی گیاه اسفناج که نشان داده در گیاهان تیمار شده با نانوذرات TiO_2 میزان تجمع ROS کاهش می یابد، مطابقت دارد (Lei et al. 2008). نتایج تجزیه میزان H_2O_2 نشان داد که درجه پاسخ به نانوذرات TiO_2 می تواند وابسته به نوع ژنوتیپ در شرایط دمای طبیعی و تنش سرما متفاوت باشد که ظرفیت ژنتیکی ژرم پلاسما نخود را در پاسخ به شرایط محیطی نشان می دهد. بنابراین بررسی شاخص خسارت سلولی از یک طرف ممکن است به عنوان نشانگری آگاهی بخش در ارزیابی اثرات نانوذرات TiO_2 در سلولهای گیاهی مفید باشد و از طرف دیگر نشان می دهد که غلظت های پایین نانوذره (۵ mg/L) نه تنها سبب القا تنش اکسیداتیو نشده بلکه با کاهش میزان ROSها، از خسارت سلولی جلوگیری می کند.

در بسیاری موارد افزایش فعالیت آنتی اکسیدان سلولی تحت تاثیر تنش های محیطی که جهت حذف ROSها در سلول رخ می دهد در پی تجمع رونوشت ژن های آن اتفاق می افتد (Kazemi-Shahandashti et al. 2013). به منظور مطالعه این موضوع میزان بیان نسبی ژن آسکوربات پراکسیداز (*APX*) بررسی شد. نتایج



شکل ۱- الگوی بیان ژنهای آسکوربات پراکسیداز (*APX*)، کمپلکس بازآرایی کروماتین (*Crc*) و چاپرونین-۶۰ *Cpn-60* در ژنوتیپهای متحمل Sel96Th11439 (الف، ج، ه) و حساس ILC533 (ب، د، و) گیاهان کنترل (ستون سیاه) و گیاهان تیمار شده با نانوذرات TiO_2 (ستون خاکستری) نخود تحت تیمارهای دمایی آزمایش شامل شرایط کنترل ($23^{\circ}C$)، روز اول و روز ششم تنش سرما ($4^{\circ}C$).

گزارش‌های قبلی نیز سنتز هماهنگ رونوشت‌های ژنی را با فعالیت *APX* تحت تنش‌های محیطی در گیاهان متفاوت نشان می‌دهند (Cook et al. 2004; Yong et al. 2008; Zheng et al. 2008; Kazemi-Shahandashti et al. 2013). به نظر می‌رسد که نوسانات در فراوانی رونوشت ژن همراه با فعالیت آنزیمی آن با تغییرات میزان ROS مرتبط باشد. در

چنین نتایجی بیانگر فعالیت‌های هماهنگ بین آنزیم *APX* و میزان رونویسی ژن *APX* در گیاه نخود مخصوصاً تحت اثر تیمار نانوذرات TiO_2 نیز می‌باشد و می‌تواند به‌طور متمایزی درجه تحمل به تنش سرما را در ژنوتیپ‌های متحمل و حساس نشان دهد.

انرژی، متابولیت‌های دفاعی تولید خواهند شد (Amini et al. 2017).

نتایج نشان داد که در ژنوتیپ متحمل، بیان نسبی چاپرون مولکولی *Ca. chaperonin-60* در روز اول تنش سرما در مقایسه با دمای معمولی تا ۱۰/۸ برابر افزایش یافت (شکل ۱). این توالی رمزکننده زیرواحد آلفا چاپرونین ۶۰ متصل شونده به زیر واحد بزرگ روبیسکو در گیاه نخود است. محصول این خانواده پروتئینی، در ممانعت از تجمع برگشت‌ناپذیر پروتئین‌های غیرطبیعی در شرایط طبیعی و تنش ایفای نقش کرده و با مصرف ATP در متصل کردن زیرواحدهای روبیسکو نقش دارد (Timperio et al. 2008). مطالعات نشان داده که محصول ژن‌های چاپرونین در گیاهان در تنظیم متابولیسم پروتئین‌ها نقش دارند به طوری که محصولات این خانواده ژنی به‌عنوان اولین گروه از پروتئین‌های پاسخ‌دهنده به تغییرات دمایی شناسایی شده‌اند (Kotak et al. 2007). کاهش بیان نسبی این ژن در روز ششم در ژنوتیپ متحمل (تا ۴/۹ برابر کاهش) می‌تواند در اثر خسارت تنش سرما یا در اثر سازگاری به سرما و عدم نیاز به القای بیان این ژن باشد (شکل ۱). با توجه به کاهش معنی‌دار میزان H_2O_2 در روز ششم تنش سرما مخصوصاً گیاهان تیمار شده با نانوذرات TiO_2 که همراه با افزایش بیان آنزیم‌های آنتی‌اکسیدان کاهش یافته فرضیه دوم تایید می‌شود. بنابراین چاپرونین‌ها با حفاظت از ساختار پروتئین‌ها نقش تعیین‌کننده‌ای در تحمل به تنش از طریق افزایش ظرفیت فتوسنتزی دارند زیرا فعالیت فتوسنتزی با تولید ATP می‌تواند در تولید متابولیت‌های اولیه و ثانویه موثر در تنش سرما شرکت کرده و در نهایت به افزایش درجه تحمل بیانجامد، مکانیسم‌هایی که در اثر ضعف سیستم فتوسنتزی در گیاه حساس مشاهده نمی‌شود (شکل ۱).

نتایج این پژوهش نشان می‌دهد که نانوذرات TiO_2 نه تنها ممکن است توسط گیاه نخود جذب شوند، بلکه زمانی که گیاهان در معرض تنش سرما قرار می‌گیرند القا کننده اثرات مثبت بر سلول می‌باشند. تحت تنش سرما، نانوذرات TiO_2 ، ROS‌های بین سلولی (H_2O_2) را که مسئول تنش‌های اکسیداتیو می‌باشند، در فرایند سلولی وابسته به زمان کاهش می‌دهند. جالب است که این سازوکارها اغلب به طور متمایز در ژنوتیپ‌های حساس و متحمل

برنامه‌ریزی مجدد سلولی تحت شرایط محیطی جدید، تغییر الگوی رونوشت ژن‌ها و ویژگی منحصر به فرد گیاهان بوده که به وسیله تنظیم‌کننده‌های ژنتیکی و اپی‌ژنتیکی القا می‌شود. آرایش مجدد کروماتین (وابسته و غیر وابسته به ATP) تغییری دینامیک در معماری کروماتین است که به پروتئین‌های تنظیمی ماشین رونویسی اجازه دسترسی به DNA ژنومی را داده به طوری که بیان ژن را تنظیم می‌کند (Yang et al. 2015). در روز اول تنش سرما بیان ژن کمپلکس بازآرایی کروماتین در هر دو ژنوتیپ در تیمارهای شاهد و تیمار شده با نانوذرات TiO_2 در مقایسه با دمای معمولی تا ۸/۷ برابر افزایش یافت، به طوری که این افزایش در گیاهان تیمار شده با نانوذرات TiO_2 بیش‌تر بود (شکل ۱). این افزایش بیان نشان می‌دهد که تغییر فعالیت ژن‌ها به‌عنوان رویکرد اساسی و پایه در مقابله با اثرات نامطلوب تنش مطرح شده و یکی از راهکارهای تقویت قدرت دفاعی گیاه تلقی می‌شود که در نهایت منجر به کاهش میزان خسارت‌های سلولی در روز ششم تنش سرما در گیاهان متحمل مخصوصاً گیاهان تیمار شده با نانوذره می‌شود. با این وجود، در روز ششم تنش سرما چنین پاسخی در میزان رونوشت این ژن مشاهده نشد به طوری که میزان بیان این ژن تا ۶/۵ برابر کاهش یافت (شکل ۱). به دلیل نقش این ژن در تغییر موقعیت نوکلئوزوم‌ها و جدا شدن هیستون‌ها از DNA و یا تسهیل تبادل هیستون‌ها که با همکاری ژن‌های متعددی انجام می‌شود (Harikrishnan et al. 2005)، تغییر بیان آن احتمالاً بخشی از پاسخ‌های اولیه گیاه نخود تحت تنش سرما محسوب شده که بر حسب ظرفیت ژنتیکی ژنوتیپ‌ها می‌تواند باعث تغییرات فنوتیپی (تایید شده با میزان خسارت‌ها) متنوع در گیاه شود. تحقیقات نشان داده که در شرایط تنش، رشد طبیعی گیاهان تراریخته آراییدوپسیس که در آن‌ها ژن *AtCHR12* تشدید شده^۱ دچار کاهش می‌شود، اما در تراریخته‌هایی که ژن *AtCHR12* حذف شده^۲، رشد گیاه در شرایط تنش کمتر تحت تاثیر قرار می‌گیرد (Mlynarova et al. 2007). چنین تغییراتی سهم عمده‌ای در سازگاری به سرما در اثر برنامه‌ریزی مجدد بیان ژن‌ها و هموستازی سلولی ایفا می‌کند زیرا با صرفه‌جویی در مصرف

¹ Overexpression

² Knock out

نتایج نشان داد که نانوذرات TiO_2 با القای برخی از پاسخ‌های سلولی در طول دوره تنش سرما باعث کاهش خسارت سلولی و ارتقای سطح تحمل در گیاه نخود شد. این یافته‌ها که گیاه نخود تیمار شده با نانوذرات TiO_2 ، در اثر کاهش میزان خسارت‌های سلولی تحمل بیشتری به تنش سرما دارد، ممکن است به توانایی گیاه نخود برای بقا و یا بهبود آن طی تنش سرما بیانجامد و کاربرد جدیدی برای نانوذرات TiO_2 در کشاورزی پیشنهاد کند، که منجر به پایداری عملکرد در مزرعه شود. تحقیقات گذشته نیز نشان داده‌اند که نانوذرات TiO_2 سبب سنتز کلروفیل، تغییر در وزن خشک، عملکرد و برخی از ویژگی‌های متابولیکی موجودات فتوسنتز کننده شده که این تغییرات غالباً همراه با القای سامانه‌های دفاعی و کاهش قابل توجه در شاخص‌های خسارت بوده است (Feizi et al. 2012; Singh et al. 2012; Mohammadi et al. 2013). با این وجود، با توجه به چالش‌های بهداشتی و زیست محیطی، اثرات کاربرد نانوذرات TiO_2 ، بر عملکرد و کیفیت نخود باید به‌طور کامل مورد مطالعه قرار گیرد.

فعالیت کرده که نشان‌دهنده وجود ظرفیت ژنتیکی گیاه نخود جهت افزایش تحمل سرما می‌باشد. القای متمایز فعالیت‌های آنتی‌اکسیدانی در گیاهان تیمار شده با نانوذرات TiO_2 احتمالاً باعث کاهش محتوای H_2O_2 شده و میزان تحمل به سرما در گیاه نخود حساس و متحمل را افزایش داده است. تصور می‌شود که سلول‌ها خواستار ایجاد هوموستازی جدید در انرژی و متابولیت برای سازگاری به تنش سرما باشند. این را می‌توان از افزایش فعالیت ژن‌های کمپلکس بازآرایی کروماتین و فعالیت‌های آنزیم‌های آنتی‌اکسیدان (مانند APX) به شکلی هماهنگ در سطوح رونویسی و ترجمه مشاهده کرد، که احتمالاً به منظور اطمینان از توانایی گیاهان برای زنده ماندن یا بهبود در طول تنش سرما ایجاد می‌شود. این پاسخ‌ها با کاهش میزان خسارت سلولی (H_2O_2) همراه بودند. چنین پاسخ‌های متمایزی ممکن است به عنوان شاخص ایده آل در مطالعه اثرات نانوذرات TiO_2 تحت تنش سرما در نظر گرفته شود.

منابع

- Alves M, Moes S, Jenö P, Pinheiro C, Passarinho J, Ricardo CP (2011) The analysis of *Lupinus albus* root proteome revealed cytoskeleton altered features due to long-term boron deficiency. *Journal of Proteomics* 74:1351-1363.
- Arnholdt-Schmitt B (2004) Stress-induced cell reprogramming. A role for global genome regulation?. *Plant Physiology* 136: 2579-2586.
- Amini S, Maali-Amiri R, Mohammadi R, Kazemi-Shahandashti SS (2017). cDNA-AFLP analysis of transcripts induced in chickpea plants by TiO_2 nanoparticles during cold stress. *Plant Physiology and Biochemistry* 111:39-49.
- Bradford MM (1976) A rapid and sensitive method for the quantitation of microgram quantities of protein utilizing the principle of protein-dye binding. *Analytical biochemistry* 72: 248-254.
- Cao S, Bian X, Jiang S, Chen Z, Jian H, Sun Z (2010) Cold treatment enhances lead resistance in *Arabidopsis*. *Acta Physiologiae Plantarum* 32:19-25.
- Castiglione MR, Giorgetti L, Cremonini R, Bottega S, Spanò C (2014) Impact of TiO_2 nanoparticles on *Vicia narbonensis* L.: potential toxicity effects. *Protoplasma* 251:1471-1479.
- Cook D, Fowler S, Fiehn O, Thomashow MF (2004) A prominent role for the CBF cold response pathway in configuring the low-temperature metabolome of *Arabidopsis*. *Proceedings of the National Academy of Sciences of the United States of America* 101:15243-15248.
- Feizi H, Moghaddam PR, Shahtahmassebi N, Fotovat A (2012) Impact of bulk and nanosized titanium dioxide (TiO_2) on wheat seed germination and seedling growth. *Biological Trace Element Research* 146:101-106.
- Gill SS, Tuteja N (2010) Reactive oxygen species and antioxidant machinery in abiotic stress tolerance in crop plants. *Plant Physiology and Biochemistry* 48:909-930.
- Harikrishnan KN, Chow MZ, Baker EK, Pal S, Bassal S, Brasacchio D, El-Osta A (2005) Brahma links the SWI/SNF chromatin-remodeling complex with MeCP2-dependent transcriptional silencing. *Nature Genetics* 37:254-264.
- Hasanpour H, Maali-Amir R, Zeinali H (2015) Effect of TiO_2 nanoparticles on metabolic limitations to photosynthesis under cold in chickpea. *Russian Journal of Plant Physiology* 62: 779-787.
- Heidarvand L, Amiri RM, Naghavi MR, Farayedi Y, Sadeghzadeh B, Alizadeh KH (2011) Physiological and morphological characteristics of chickpea accessions under low temperature stress. *Russian Journal of Plant Physiology* 58:157-163.
- Heidarvand L, Maali-Amiri R (2013) Physio-biochemical and proteome analysis of chickpea in early phases of cold stress. *Journal of Plant Physiology* 170:459-469.
- Hu X, Jiang M, Zhang A, Lu J (2005) Abscisic acid-induced apoplastic H_2O_2 accumulation up-regulates the

- activities of chloroplastic and cytosolic antioxidant enzymes in maize leaves. *Planta* 223:57-68.
- Huner JV, Lindqvist OV, Könönen H (1988) Comparison of morphology and edible tissues of two important commercial crayfishes, the noble crayfish, *Astacus astacus* Linné, and the red swamp crayfish, *Procambarus clarkii* (Girard) (Decapoda, Astacidae and Cambaridae). *Aquaculture* 68:45-57.
- Kang HM, Saltveit ME (2002) Chilling tolerance of maize, cucumber and rice seedling leaves and roots are differentially affected by salicylic acid. *Physiologia Plantarum* 115:571-576.
- Kazemi-Shahandashti SS, Maali-Amiri R, Zeinali H, Khazaei M, Talei A, Ramezani SS (2013) Effect of short-term cold stress on oxidative damage and transcript accumulation of defense-related genes in chickpea seedlings. *Journal of Plant Physiology* 171:1106-1116.
- Khodakovskaya MV, de Silva K, Biris AS, Dervishi E, Villagarcia H (2012) Carbon nanotubes induce growth enhancement of tobacco cells. *ACS Nano* 6:2128-2135.
- Kotak S, Larkindale J, Lee U, von Koskull-Döring P, Vierling E, Scharf KD (2007) Complexity of the heat stress response in plants. *Current Opinion in Plant Biology* 10:310-316.
- Lei Z, Mingyu S, Xiao W, Chao L, Chunxiang Q, Liang C, Fashui H (2008) Antioxidant stress is promoted by nano-anatase in spinach chloroplasts under UV-B radiation. *Biological Trace Element Research* 121:69-79.
- Li FM, Zhao W, Li YY, Tian ZJ, Wang ZY (2012) Toxic effects of nano-TiO₂ on *Gymnodinium breve*. *Environmental Science* 33:233-238.
- Loreto F, Velikova V (2001) Isoprene produced by leaves protects the photosynthetic apparatus against ozone damage, quenches ozone products, and reduces lipid peroxidation of cellular membranes. *Plant Physiology* 127:1781-1787.
- Mlynárová L, Nap JP, Bisseling T (2007) The SWI/SNF chromatin-remodeling gene *AtCHR12* mediates temporary growth arrest in *Arabidopsis thaliana* upon perceiving environmental stress. *Plant Journal* 51:874-885.
- Mohammadi R, Maali-Amiri R, Abbasi A (2013) Effect of TiO₂ nanoparticles on chickpea response to cold stress. *Biological Trace Element Research* 152:403-410.
- Pfaffl MW, Horgan GW, Dempfle L (2002) Relative expression software tool (REST) for group-wise comparison and statistical analysis of relative expression results in real-time PCR. *Nucleic Acids Research* 30:e36-e36.
- Prasad TK, Anderson MD, Martin BA, Stewart CR (1994) Evidence for chilling-induced oxidative stress in maize seedlings and a regulatory role for hydrogen peroxide. *Plant Cell* 6:65-74.
- Ranieri A, Castagna A, Pacini J, Baldan B, Sodi AM, Soldatini GF (2003) Early production and scavenging of hydrogen peroxide in the apoplast of sunflower plants exposed to ozone. *Journal of Experimental Botany* 54:2529-2540.
- Singh D, Kumar S, Singh SC, Lal B, Singh NB (2012) Applications of liquid assisted pulsed laser ablation synthesized TiO₂ nanoparticles on germination, growth and biochemical parameters of *Brassica oleracea* var. Capitata. *Science of Advanced Materials* 4:522-531.
- Timperio AM, Egidi MG, Zolla L (2008) Proteomics applied on plant abiotic stresses: role of heat shock proteins (HSP). *Journal of Proteomics* 71:391-411.
- Tsukiyama T (2002) The in vivo functions of ATP-dependent chromatin-remodelling factors. *Nature Reviews Molecular Cell Biology* 3:422-429.
- Vignali M, Hassan AH, Neely KE, Workman JL (2000) ATP-dependent chromatin-remodeling complexes. *Molecular and Cellular Biology* 20:1899-1910.
- Yang S, Li C, Zhao L, Gao S, Lu J, Zhao M, Yang C (2015) The Arabidopsis SWI2/SNF2 chromatin remodeling ATPase BRAHMA targets directly to PINs and is required for root stem cell niche maintenance. *Plant Cell* 27:1670-1680.
- Yong Z, Hao-Ru T, Ya L (2008) Variation in antioxidant enzyme activities of two strawberry cultivars with short-term low temperature stress. *World Journal of Agricultural Sciences* 4:458-62.
- Zheng Y, Fung RW, Wang SY, Wang CY (2008) Transcript levels of antioxidative genes and oxygen radical scavenging enzyme activities in chilled zucchini squash in response to super atmospheric oxygen. *Postharvest Biology and Technology* 47:151-158.